四維空間霍普夫纖維化圖形探索在數學 算板上的實踐(下)

林保平

前台北市立教育大學數資系退休副教授

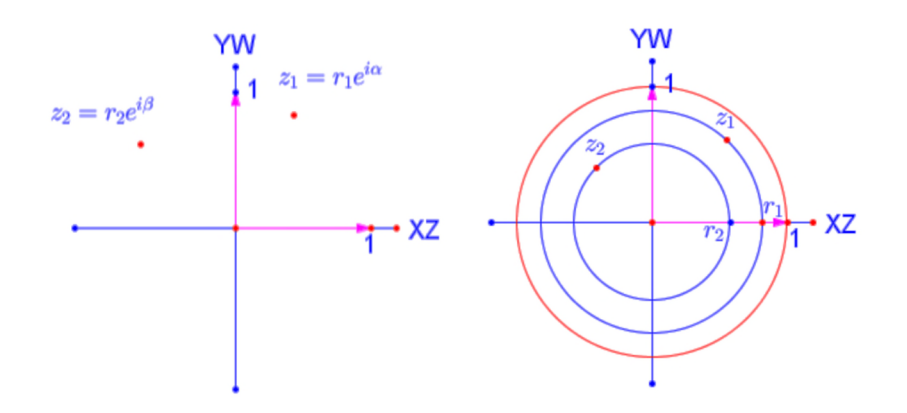
肆、旋轉纖維化

Zamboj(2021)指出:霍普夫映射的定義,有透過四元素(quaternion)的旋轉定義 (Hanson,2006),也有透過複分數比例 $f(z_1,z_2)=\frac{z_2}{z_1}$ 加以定義(Hatcher 2002)。前面曾 提到將霍普夫輪環面某一面相作「四維空間旋轉」後,得到的三維投影圖,其實也是該霍普夫輪環面的一個樣貌,本單元我們將透過「四維空間」的「等角旋轉」加以討論。

設 C 表示複數集合,考慮 $R^4\cong C^2$,其上任一點可表示為 $(z_1,z_2)=(r_1\,e^{i\alpha},r_2\,e^{i\beta})$,其中 $z_1=x_0+iy_0,z_2=z_0+iw_0,0\leq\alpha,\beta\leq 2\pi$,

設 $X = [x_0, y_0, z_0, w_0] = [r_1 \cos(\alpha), r_1 \sin(\alpha), r_2 \cos(\beta), r_2 \sin(\beta)]$ 為 R^4 中的向量。數學算板定義一個四維空間為兩個重疊複數平面坐標軸的結構,其中 x 軸與 z 軸重疊,y 軸與 w 軸重疊,O 為原點,任意一組有序複數點對 (z_1, z_2) 代表四維空間上的一點,其中 z_1, z_2 分別在 XOY 及 ZOW 平面上,如圖 21 所示。圖 21 左圖中有序複數對 (z_1, z_2) 表示數學算板中四維空間坐標上的任意點, z_1, z_2 分別為 XOY、ZOW 平面上可任意移動的點。單位圓面(disk)上的點對 (z_1, z_2) ,當 $r_1^2 + r_2^2 = 1$ 時,就是 S^3 上的點。數學算板取 $r_1 \in [0,1]_x$ 為半自由點,可在 x 軸區間 [0,1] 上移動, $r_2 = \sqrt{1-r_1^2} \in [0,1]_z$ 會隨 r_1 在 z 軸區間 [0,1] 自動改變位置。 z_1, z_2 為以 O 為圓心

 r_1, r_2 為半徑的圓上的半自由點(兩圓分別在 XOY、ZOW 平面上),可在圓上自由移動。因此在數算板的四維空間系統中,單位圓面上數對 (z_1, z_2) ,在 $r_1^2 + r_2^2 = 1$ 時可代表數學算板上 $S^3 \subset R^4$ 上任一點。圖二十一右圖展示的點對 (z_1, z_2) 就是 S^3 上的點。由於 XOY及 ZOW 平面重合,因此取點時,點在那一個平面上並不重要,重點是點對的順序。



圖二十一: 左圖為四維空間的數對 (z_1, z_2) ,右圖為 S^3 上的數對 (z_1, z_2)

若考慮四維空間 XY 及 ZW 兩平面的等角旋轉(isoclinic rotation)矩陣

$$R = \begin{bmatrix} \cos(\theta) & -\sin(\theta) & 0 & 0 \\ \sin(\theta) & \cos(\theta) & 0 & 0 \\ 0 & 0 & \cos(\theta) & -\sin(\theta) \\ 0 & 0 & \sin(\theta) & \cos(\theta) \end{bmatrix}, \ 0 \le \theta \le 2\pi, \ \text{這其實就是數學算板中四}$$

維旋轉 XY | ZW 選項(林,民 112),則

$$RX^{t} = \begin{bmatrix} \cos(\theta) & -\sin(\theta) & 0 & 0 \\ \sin(\theta) & \cos(\theta) & 0 & 0 \\ 0 & 0 & \cos(\theta) & -\sin(\theta) \\ 0 & 0 & \sin(\theta) & \cos(\theta) \end{bmatrix} \begin{bmatrix} x_{0} \\ y_{0} \\ z_{0} \\ w_{0} \end{bmatrix} = \begin{bmatrix} x_{0}\cos(\theta) - y_{0}\sin(\theta) \\ y_{0}\cos(\theta) + x_{0}\sin(\theta) \\ z_{0}\cos(\theta) - w_{0}\sin(\theta) \\ w_{0}\cos(\theta) + z_{0}\sin(\theta) \end{bmatrix} = \cos(\theta) \begin{bmatrix} x_{0} \\ y_{0} \\ z_{0} \\ w_{0} \end{bmatrix} + \sin(\theta) \begin{bmatrix} -y_{0} \\ x_{0} \\ -w_{0} \\ z_{0} \end{bmatrix}$$

故若
$$\begin{bmatrix} x_0 \\ y_0 \\ z_0 \\ w_0 \end{bmatrix}$$
 , $\begin{bmatrix} -y_0 \\ x_0 \\ -w_0 \\ z_0 \end{bmatrix}$ 為線性獨立向量(亦即 $y_0 \neq 0$ 或 $w_0 \neq 0$) ,則 RX' 的端點都在向量

$$\begin{bmatrix} x_0 \\ y_0 \\ z_0 \\ w_0 \end{bmatrix}$$
, $\begin{bmatrix} -y_0 \\ x_0 \\ -w_0 \\ z_0 \end{bmatrix}$ 拓展的平面上,亦即:若將 θ 視為參數,四維空間點 (z_1, z_2) 在等角旋轉

作用下,其軌跡圖形是在同一平面上。

從另一個方向來看,令

$$RX^{t} = \begin{bmatrix} \cos(\theta) & -\sin(\theta) & 0 & 0 \\ \sin(\theta) & \cos(\theta) & 0 & 0 \\ 0 & 0 & \cos(\theta) & -\sin(\theta) \\ 0 & 0 & \sin(\theta) & \cos(\theta) \end{bmatrix} \begin{bmatrix} r_{1}\cos(\alpha) \\ r_{1}\sin(\alpha) \\ r_{2}\cos(\beta) \\ r_{2}\sin(\beta) \end{bmatrix}$$
$$= \begin{bmatrix} r_{1}\cos(\theta)\cos(\alpha) - r_{1}\sin(\theta)\sin(\alpha) \\ r_{1}\sin(\theta)\cos(\alpha) + r_{1}\cos(\theta)\sin(\alpha) \\ r_{2}\cos(\theta)\cos(\beta) - r_{2}\sin(\theta)\sin(\beta) \\ r_{2}\sin(\theta)\cos(\beta) + r_{2}\cos(\theta)\sin(\beta) \end{bmatrix} = \begin{bmatrix} r_{1}\cos(\theta + \alpha) \\ r_{1}\sin(\theta + \alpha) \\ r_{2}\cos(\theta + \beta) \\ r_{2}\sin(\theta + \beta) \end{bmatrix}$$

故 $\|RX'\|=\sqrt{r_1^2+r_2^2}$,將 θ 視為參數,因此四維空間點 (z_1,z_2) 在等角旋轉作用下,軌跡為一個以原點為圓心,半徑為 $\sqrt{r_1^2+r_2^2}$ 的圓。此圓作者稱之為「等角旋轉纖維」(Rotation Fiber)。我們將 RX' 向量,做參數變換,令 $\theta+\beta=t\in[0,2\pi]$, $\alpha-\beta=u\in[0,2\pi]$ (取模數 2π),結果記為 T_0 ,則

$$T_0 = \begin{bmatrix} r_1 \cos(t+u) \\ r_1 \sin(t+u) \\ r_2 \cos(t) \\ r_2 \sin(t) \end{bmatrix} \not\equiv 0 \le t, u \le 2\pi .$$

若將 t 視為參數,此式為等角旋轉參數式。

若令
$$r_1 = \cos(\frac{\varphi}{2}), r_2 = \sin(\frac{\varphi}{2})$$
 , $0 \le \varphi \le \pi$,則 $0 \le r_1, r_2 \le 1, r_1^2 + r_2^2 = 1$,設

$$T = \begin{bmatrix} \cos(\frac{\varphi}{2})\cos(\theta + \alpha) \\ \cos(\frac{\varphi}{2})\sin(\theta + \alpha) \\ \sin(\frac{\varphi}{2})\cos(\theta + \beta) \\ \sin(\frac{\varphi}{2})\sin(\theta + \beta) \end{bmatrix}, \quad \sharp + 0 \le \varphi \le \pi, \quad 0 \le \alpha, \beta, \theta \le 2\pi.$$

由於 $\|T\|=1$,故四維空間向量T之端點為三維單位球面 S^3 (unit 3-sphere)上的點。再作參數變換,令 $t=\theta+\beta,u=\alpha-\beta$,結果記為 T_1 ,則

$$T_{1} = \begin{bmatrix} \cos(\frac{\varphi}{2})\cos(t+u) \\ \cos(\frac{\varphi}{2})\sin(t+u) \\ \sin(\frac{\varphi}{2})\cos(t) \\ \sin(\frac{\varphi}{2})\sin(t) \end{bmatrix}, \not \sharp \ \psi \ 0 \le \varphi \le \pi \ , \ 0 \le t, u \le 2\pi \ \circ$$

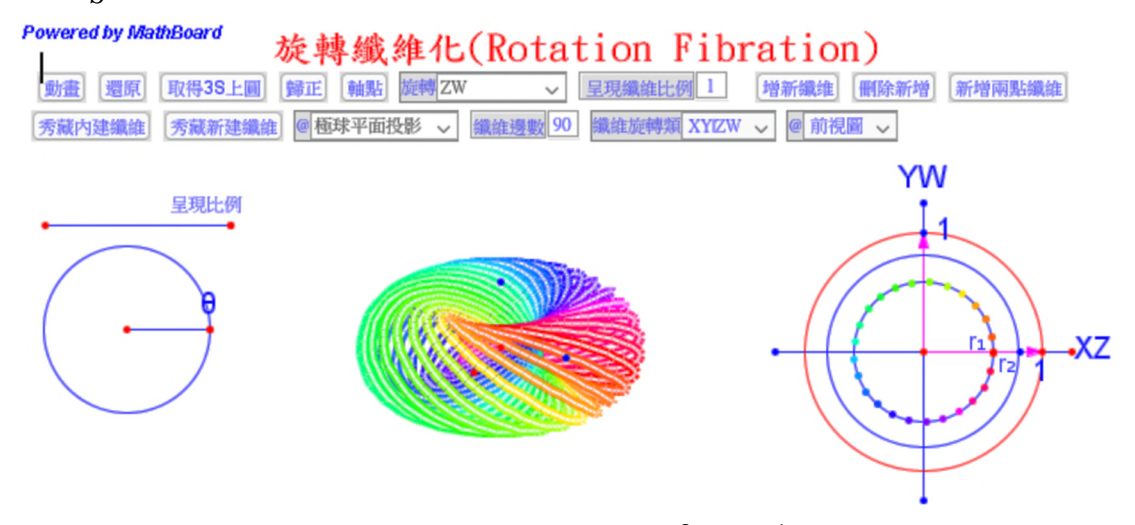
以 t 為參數,則向量 T_1 的端點軌跡就是 S^3 上的一個大圓。這個參數式就是前述霍普夫纖維化(Hopf fibration)中的纖維(fiber)曲線參數式。也就是說「霍普夫纖維化」其實可透過四維空間互相垂直平面(XY 平面、ZW 平面)中的「等角旋轉」加以實踐。設 $RF(z_1,z_2)$ 表示四維空間點 $(z_1,z_2)=(r_1e^{i\alpha},r_2e^{i\beta})$ 形成的等角旋轉纖維,由於 t 是參數,由令 t=0則

結果:

$$\{RF(z_1, z_2) \mid (z_1, z_2) \in C \times C\} \cong \{RF(z_1, r_2) \mid z_1 = r_1 e^{it}, r_2 \ge 0\}$$
 [1]

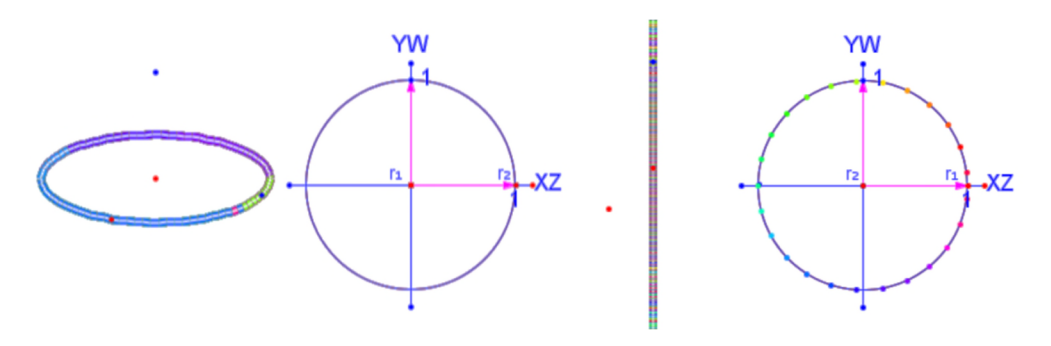
$$\{RF(z_1, z_2) \mid (z_1, z_2) \in S^3\} \cong \{RF(z_1, r_2) \mid z_1 = r_1 e^{it}, r_2 = \sqrt{1 - r_1^2}, 0 \le r_1 \le 1\}$$
 [2]

[1]告訴我們,在數學算板的四維空間坐標系中,我們若想取得 R^4 上的點 (z_1,z_2) 的旋轉纖維,我們只需取得 (z_1,r_2) 的旋轉纖維即可。[2]告訴我們,若想取得 S^3 上的點 (z_1,z_2) 的旋轉纖維,我們只需取得 $(z_1,\sqrt{1-r_1^2})$ 的旋轉纖維即可。由[2],在數算板程式中,要取得 S^3 上的點上的點纖維,只需在四維空間坐標 XOY 平面單位圓面上,取得一點 z_1 即可。數學算板會自動補上其相應的 ZOW 平面 z 軸區間 z_1 中間的圖形是轉變,以不是 $z_1 = r_1 e^{i\theta}$,每 $z_2 = r_2$ 即可。因此在數算板四維空間坐標系「單位圓面」 $z_1 = r_1 e^{i\theta}$,每 $z_2 = r_2 e^{i\theta}$,可得到對應的等角旋轉纖維化輪環面,亦即霍普夫纖維化輪環面。圖 $z_1 = r_1 e^{i\theta}$,每 $z_2 = r_2 e^{i\theta}$,可得到對應的等角旋轉纖維化輪環面,亦即霍普夫纖維化輪環面。圖 $z_1 = r_1 e^{i\theta}$,每 $z_2 = r_2 e^{i\theta}$,如 $z_3 = r_2 e^{i\theta}$,如



圖二十二:旋轉纖維化程式起始畫面,當 $0 < r_1 < 1$ 時,纖維圖為輪環面

圖二十三展示的是當 $r_1=0$ (此時 $r_2=1$) 及 $r_1=1$ (此時 $r_2=0$)時,輪環面變成一個圓及一條直線(圓的特殊狀況)。



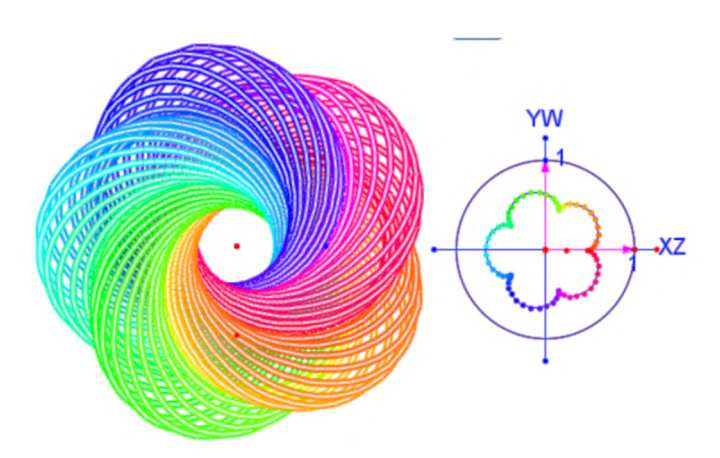
圖二十三:當 $r_1 = 0$ 及 $r_1 = 1$ 時,輪環面變成一個圓及一條直線

當 $r_1 = r_2 = \frac{\sqrt{2}}{2}$ 時,圖二十二中兩圓重合,此時,投影圖形是特殊的克利福特輪環面

(Clifford torus)投影。由於兩圓是配對的存在,因此在哪一個圓上取點都可以,數學算板會自動配合相應的點,以便構成四維點,形成旋轉纖維。

這個我們稱之為「等角旋轉纖維化」的作圖,與霍普夫纖維化作圖,本質上是相同的。 只是後者我們是在 S^2 或延伸的複數平面上取點(一點)再作纖維(延伸複平面點是轉換成 S^2 的點再作纖維),而前者是在數學算板空間坐標系中的 S^3 上取點(兩點),第一個點必須取在單位圓面上。第二個點取在區間[0,1]上。

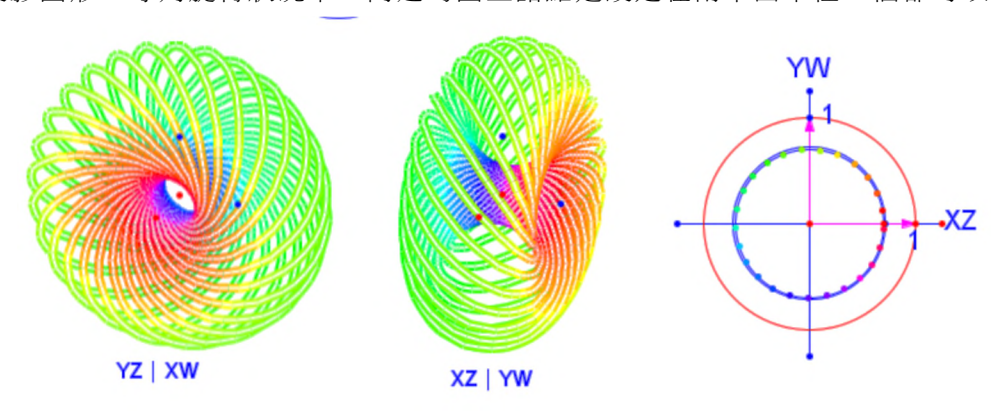
圖二十四展示的是旋轉纖維化 5 尖外擺線點纖維投影而得的圖形的上視圖,可與圖十 五之二比較。



圖二十四:旋轉纖維化5尖外擺線點纖維投影圖

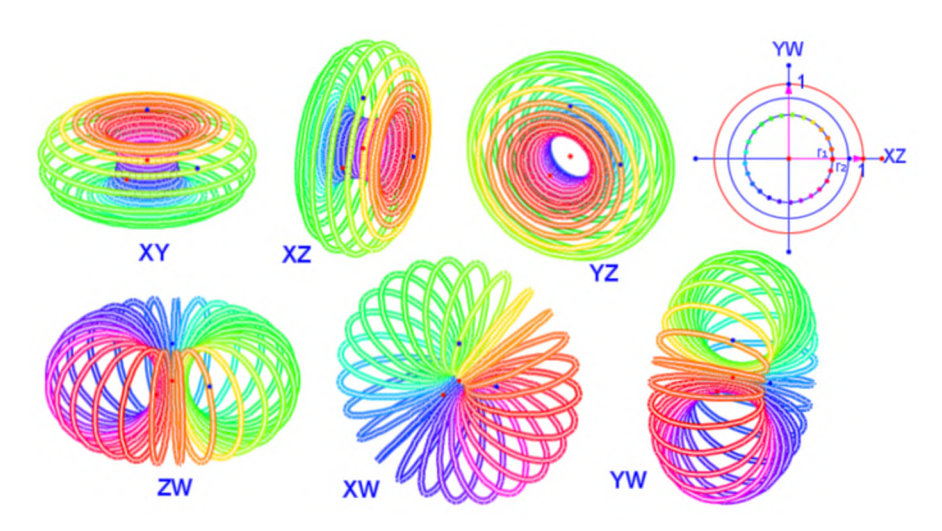
前面我們討論的等角旋轉是 $XY \mid ZW$ 旋轉矩陣在 $\alpha = \beta \neq 0$ 時的特例,其實對 $XZ \mid YW$, $YZ \mid XW$ 旋轉它也是成立的。此時數學算板中的重疊平面就是不同的坐標主平面。

圖 24-1 展示的就是 XZ | YW 及 YZ | XW 等角旋轉纖維對應的 3 維投影圖形,注意此時數學算板上重疊平面為 XOZ、YOW 平面及 YOZ、XOW 平面,前面圖二十二展示的是 XY | ZW 的投影圖形,等角旋轉狀況下,內建的圓上諸點是設定在兩平面中任一個都可以。



圖二十四之一:YZ | XW 及 XZ | YW 對內建點旋轉纖維對應的 3 維投影圖

四維空間六個主旋轉(XY, XZ, XW, YZ, YW, ZW)雖然不是等角旋轉,由於四維空間點在這些主旋轉之下,仍然是圓,我們在數學算板的四維空間上,仍依前述取點方式取四維點,作旋轉纖維,此時的圖形也十分有趣。圖二十五展示的六個圖形就是取內建點(圖二十五右上方點)時,六個主旋轉纖維對應的3維投影圖形,呈現的是輪環面的經緯線,分別為與W軸無關的(XY、XZ、YZ)及與W軸相關的(XW、YW、ZW)兩類。注意此時數學算板四維坐標的重疊平面為分別為(XOY、ZOW; XOZ、YOW; YOZ、XOW)及(XOW、YOZ; YOW、XOZ; ZOW、YOZ),而內建的圓上諸點是設定在平面 ZOW、YOW、XOW 及YOZ、XOZ、XOY上。



圖二十五: 六類主旋轉對內建點旋轉纖維對應的 3 維投影圖

數學算板提供了「旋轉纖維類」選鈕(圖二十二)。

其基本選項 XY, XZ, YZ, ZW, XY | ZW, XW, XZ | YW, YW, YZ | XW 與四維旋轉選項相同,此時取得的四維點都在 S^3 上。

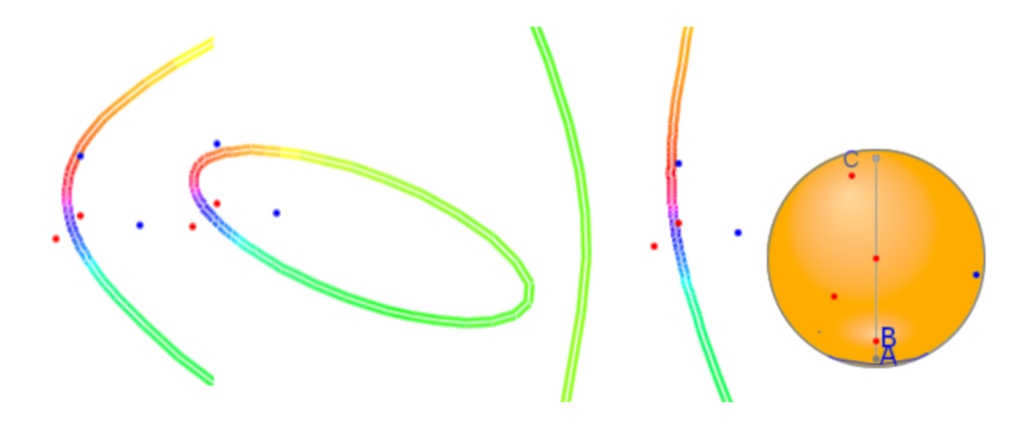
伍、四維空間任意點的等角旋轉纖維化

前面我們由[2]討論了 S^3 上點的旋轉纖維,四維空間坐標中單位圓面上的任意點,都可取對應的點使其成為 S^3 上的點,而取得旋轉纖維。回頭看 T_0 及[1],以 t 為參數,因 $|T_0| = \sqrt{r_1^2 + r_2^2}$, T_0 是在 R^4 中以 $r = \sqrt{r_1^2 + r_2^2}$ 為半徑的 3-球面上的大圓。我們若以 (0,0,0,r) 為透視中心,作極球平面投影,此時的投影圖其實與前述 S^3 的圖形是等價的 $(P_0,0,0,r)$ 為透視中心,作極球平面投影,此時的投影圖其實與前述 S^3 的圖形是等價的 $(P_0,0,0,r)$ 為透視中心,作極球平面投影,此時的投影圖其實與前述 S^3 的圖形是等價的 $(P_0,0,0,r)$ 为。四維空間中對於任意 S^3 以中面上的封閉曲線,我們可以取夠大的 S^3 以中此對閉曲線在半徑為 S^3 的圖面上,對於封閉曲線上的點,都可找到 S^3 中的區間 S^3 中,使此封閉曲線在半徑為 S^3 的 S^3 中,使此对閉曲線在半徑為 S^3 的 S^3 中,使此对閉曲線在半徑為 S^3 的 S^3 中,使此对閉曲線在半徑為 S^3 的 S^3 中,可能與 S^3 中,可能以 S^3 中,可能以 S^3 中,可能以 S^3 中,可能以 S^3 中, S^3

陸、一般透視投影與極球平面投影

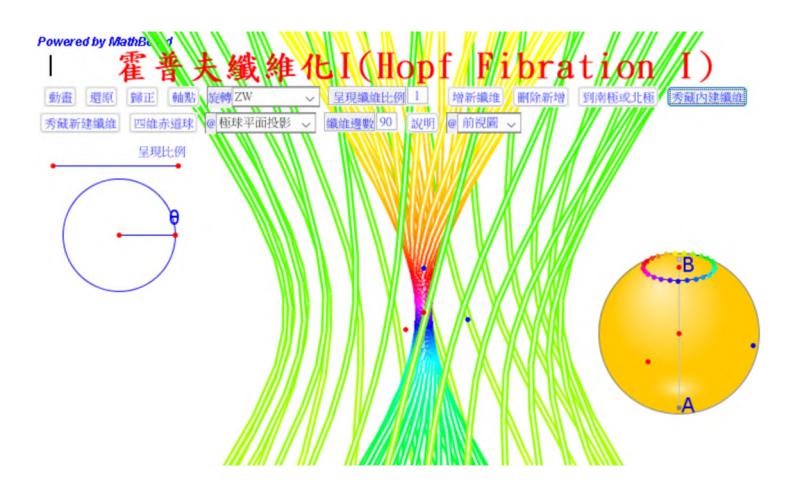
到目前為止,我們討論的都是 S^3 上的等角旋轉纖維(含霍普夫纖維)的投影圖,使用極球平面投影來展示。若我們不用極球平面投影,而將投影透視中心放在 S^3 內部或外部,此時,四維空間大圓投影至三維空間時,其投影圖形未必是圓,可能是其他圓錐曲線或其退化的情形。

圖二十六展示的就是黎曼球面上點以(0,0,0,r)為投影中心的纖維投影圖。當點 $h^{-1}(C)$ 的 z 坐標大於 r 時,圖形是雙曲線,小於 r 時才會是圓,等於 r 時,應是拋物線。移動程式中的 C 點可以看到其圖形的變化,圖二十六中的 C 點是在圖形形成雙曲線時的位置。

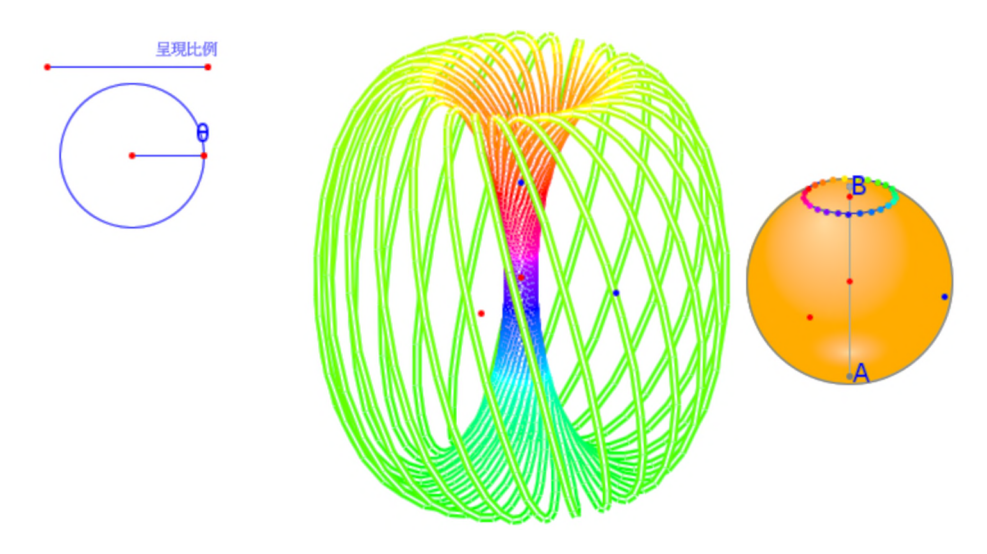


圖二十六:黎曼球面上點形成的3類纖維

圖二十七展示的是是程式內建圖形在以(0,0,0,0,0)為透視中心時,緯線圓上點對應的 纖維投影圖,像是雙層的雙曲線面。數學算板在展示雙曲纖維時,會消除一些雜訊線條, 由於技術問題,有時仍會有線段雜訊出現,有待改善。圖二十八展示的是以(0,0,0,1.1)為透 視中心時,緯線圓上點對應的纖維投影圖。

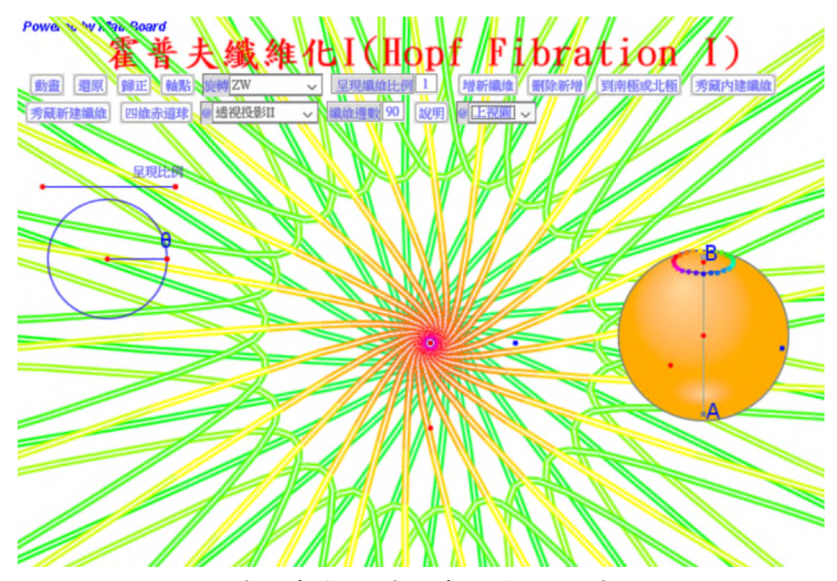


圖二十七:緯線圓上點在透視半徑為 0.9 時,纖維的投影圖。



圖二十八:緯線圓在透視半徑為1.1時,纖維的投影圖。

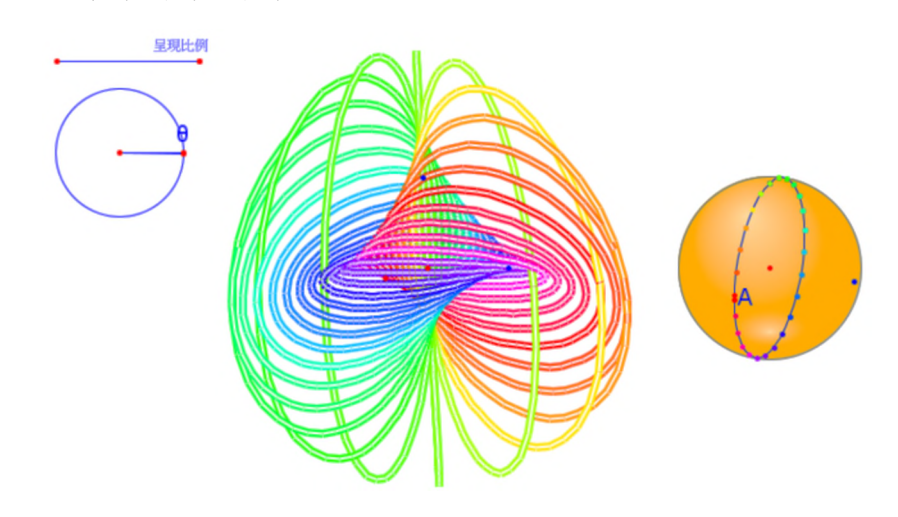
圖二十九展示的是圖二十七的上視圖。



圖二十九:圖二十七的上視圖

數學算板程式中有「極球平面投影」選擇輸入按鈕,有三個選項:極球平面投影(r=1)、透視投影 I (r=1.1),透視投影 II (r=0.9)。也可以直接輸入投影半徑的數值,觀察不同投影的投影圖形。本質上來說,極球平面投影是一對一映成對應,但一般透視投影在投影半徑大於 1 時,未必是一對一對應,投影時無法維持纖維在四維空間上的鏈結狀態,因此在四維旋轉之時,投影圖會有纖維圖相交的現象;投影半徑小於 1 時,有時會將圓裂為兩

條雙曲線。圖二十六、二十七、二十八展示的透視投影仍是1對1的對應,故並無投影圖相交的狀況。圖三十展示的是經線圓上點,以(0,0,0,0,0)為投影中心的透視投影,由於它不是1對1對應,投影圖形有自我相交狀況的狀況。至於四維空間中的多胞體,由於其構成成分中的線、面、胞上的點不會全部同在一個3-球面上,因此其投影只能是一般的透視投影,而不是極球平面投影。



圖三十:經度為0的經線圓上點,其纖維在投影半徑為0.9時的投影圖

柒、結語

本文首先介紹四維空間霍普夫變換的定義及性質,並討論數學算板的黎曼球面及延伸 複平面上的霍普變換的三維投影圖形製作,然後以「等角旋轉纖維化」透過四維空間坐標 系來看霍普複變換,雖然沒有嚴格的定理性質證明,但有大略的說明,最後說明極球平面 投影與一般透視投影的差異。對於程式也提供了兩個影片,影片的目的是簡單介紹程式的 功能,並非做數學的教學,影片說明有些口誤,未加修正,請留意,若有時間會再陸續製 作。網頁 https://mathboard.tw 下載區上將提供數學算板測試版 1.07 版,對程式有興趣的 讀者可下載測試使用, https://www.youtube.com/@mathboardtw 上也提供數學算板相關的 影片,希望對霍普夫纖維化及數學算板有興趣的讀者有幫助。

參考文獻

- 林保平 (民 107)多面體的生成及動態模型製作在數學算板上的實踐(上),科 學教育月刊,第 412 期,pp31-49。
- 林保平(民112) 四維空間初探在數學算板中的實踐,數學傳播季刊,第 47 卷第 4 期, pp53-76。
- Banchoff, T.(1990). Beyond the third dimension: Geometry, computer graphics, and higher dimensions. Scientific American Library; W. H. Freeman and Company.
- Gluck, H., Warner, F. and Ziller, W. (1986). The Geometry Of Hopf Fibration. L'Enseignement Mathématique 32(3) January 1986.
- https://ncatlab.org/nlab/files/GluckWarnerZiller-HopfFibrations.pdf.
- Hanson, A.J. (2006). Visualizing Quaternions. in IEEE Control Systems Magazine, vol. 28, no. 4, pp. 104-105, Aug. 2008, doi: 10.1109/MCS.2008.925869.
- Hatcher, A. (2002). Algebraic topology. Cambridge University Press.. PP377 Example 4.45 define hopf by ratio of two complex.
- Hopf, Heinz.(1935). Über die Abbildungen von Sphären auf Sphären niedrigerer Dimension. Fundamenta Mathematicae (Warsaw: Polish Acad.)
- Pinkall, Ulrich. (1985). Hopf tori in S^3 . Inventiones mathematicae 81(2):379-386.
- Zamboj, Michal (2021). Synthetic construction of the Hopf fibration in a double orthogonal projection of 4-space, Journal of Computational Design and Engineering, 2021, 8(3), 836 854, http://doi.org/10.1093/jcde/qwab018.